

В таблице приведены значения коэффициентов затухания на профилях Львов—Ужгород, Минск—Львов, которые получены как

$$\text{среднее значение из } n \text{ записей: } \alpha_{\text{ср}} = \frac{\sum_{i=1}^n \alpha_i}{n}.$$

Анализ результатов вычислений показывает, что значение эффективных коэффициентов затухания одинакового порядка как на профиле Львов—Ужгород, так и на профиле Минск—Львов и составляют $0,5 \dots 2,5 \cdot 10^{-4} \text{ км}^{-1}$. На профиле Львов—Ужгород наблюдается относительное увеличение значений коэффициента затухания с увеличением частоты. На профиле Минск—Львов отмечается относительное увеличение коэффициента затухания в диапазоне периодов $T = 23 \dots 29 \text{ с}$.

Относительное увеличение коэффициентов затухания на профиле Львов—Ужгород для более высокочастотных колебаний можно объяснить большим затуханием короткопериодных сейсмических волн при их прохождении в верхних частях земной коры Карпат, которая характеризуется значительной неоднородностью строения. По другим данным получены приблизительно такие же значения коэффициентов затухания для поверхностных волн $\alpha = 1,2 \dots 3,5 \cdot 10^{-4} \text{ км}^{-1}$ [4]; для Карпато-Балканского региона го объемным волнам для глубин $350 \dots 2000 \text{ км}$ $\alpha = 3,0 \dots 5,0 \times 10^{-4} \text{ км}^{-1}$ [3].

Список литературы: 1. Анишинова З. С., Кейлис-Борок В. И., Левин А. Я. и др. Поверхности волн Земли. — М.: Наука, 1965. 2. Корн Г., Корн Т. Справочник по математике. — М.: Наука, 1973. 3. Кугис В. В. Оценка эффективных коэффициентов поглощения P -волн в оболонке Земли. — В кн.: Геофиз. сб. АН УССР, 1972, вып. 46. 4. Проскурюков Т. Д., Новотны О. Изучение строения Земли методом поверхностных волн. — М.: Наука, 1981. 5. Савченко Е. Ф. Сейсмические волны. — М.: Недра, 1972. 6. Сейсмологический бюллетень за 1970—1976 гг. — М.: АН СССР, 1970—1976.

Статья поступила в редакцию 16.05.83

УДК 625.724:528.4:86

Л. В. ГОЖИ

О ТОЧНОСТИ ДЕТАЛЬНОЙ РАЗБИВКИ КРУГОВОЙ КРИВОЙ СПОСОБОМ УГЛОВОЙ ЗАСЕЧКИ

Ранее мы сформулировали общий принцип оценки точности детальной разбивки круговой кривой и получили формулы для оценки точности разбивки способами прямоугольных координат, полярных координат и линейно-угловой засечки [3]. Цель настоящей работы — на основе общего принципа получить формулы для оценки точности детальной разбивки круговой спосо-

бом угловой засечки и установить практические достоинства по-слеженного.

При разбивке закругленный способ угловой засечки применяется редко, несмотря на то что он обладает весьма ценными качествами [5]. В частности, этот способ не требует выполнения линейных измерений, что делает его весьма эффективным при детальной разбивке кривых на участках, где линейные измерения затруднены (стремительно пересеченная местность, насыпи, костогоры, выемки и т. п.).

Способ угловой засечки позволяет осуществлять вынос точек кривой в натуру не только с концов базиса «начало кривой — конец кривой», но и из любых двух других точек кривой, что допускает, в случае необходимости, деление всей кривой в процессе разбивки на любое число частей. Применение способа не связано с необходимостью составления специальных таблиц для определения углов засечки, поскольку последние будут изменяться кратно значению центрального угла, стягивающего другой детальный разбивки k , который можно выбрать из таблицы 1.3, приведенной в [1]. Разбивка кривой способом угловой засечки возможна как с двух концов базиса одновременно (тогда потребуется три исполнителя работ и два угломерных инструмента), так и с каждого конца в отдельности с временным закреплением створа линии визирования в окрестности выносимой точки (тогда можно обойтись одним инструментом и двумя исполнителями). Наконец, рассматриваемый способ можно применять в сочетании с другими способами разбивки кривой.

Слабое распространение способа скорее всего можно объяснить тем, что в процессе построения круговых кривых в полавтоматическом большинстве случаев углы засечки малы, а угол при точке засечки может быть близким к 180° , и, соответственно, есть основание полагать, что ожидаемая точность определения планового положения выносимой точки будет невысокой. Однако практическое сравнение точности построения круговой кривой различными способами показало, что точность построения кривой способом угловой засечки нисколько не хуже точности построения ее любыми другими способами [2]. Объяснить такую ситуацию можно следующим образом.

Плановое положение точки, выносимой в натуру угловой засечкой с двух опорных точек, в одном из двух взаимноперпендикулярных направлений действительно определяется не совсем надежно, если угол при точке засечки близок к 180° . Однако качество построения собственно круговой кривой в данной точке в первую очередь зависит от погрешности δR построения ее радиуса, тогда как погрешность, действующая в перпендикулярном к радиусу направлении (погрешность, нарушающая равенство интервалов детальной разбивки δk), имеет второстепенное значение. А погрешность δR будет минимальной именно тогда, когда угол при точке засечки близок 180° , т. е. когда углы засечки α и β малы или даже близки к нулю. Чтобы получить формулы для подсчета погрешности δR (и соответствующей средней квадратической по-

грешности построения радиуса m_n , а также погрешности δk (и соответственно m_k), обратимся к рисунку.

Как видно из рисунка и как следует из общего принципа [3], погрешности δR и δk можно связать с погрешностями α и β построения углов засечки α и β следующим путем:

1. По заданным значениям погрешностей $\delta\alpha$ и $\delta\beta$ получить погрешности δx° и δy° прямоугольных координат точки n в системе координат $X^\circ OY^\circ$.

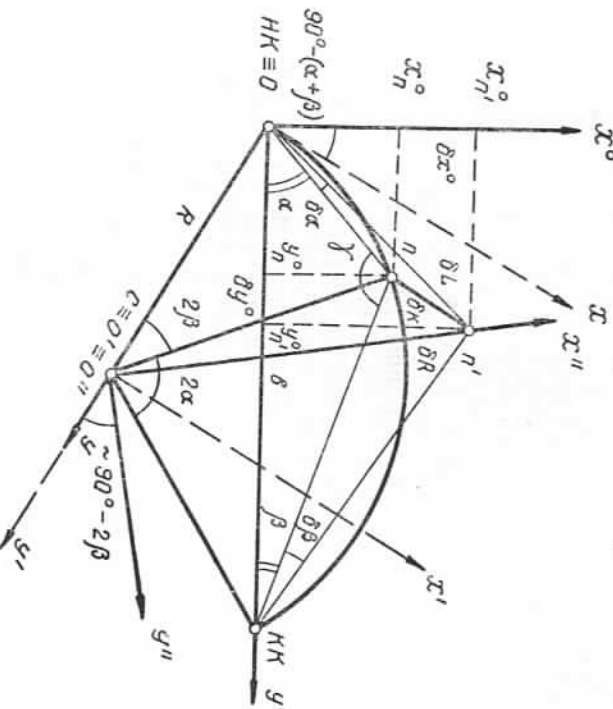


Схема расположения точки, определяемой угловой засечкой, в различных системах прямоугольных координат:

α, β — углы засечки; n — выносная точка круговой кривой радиуса R с концом базиса b , совмещенного с начальном (HK) и с концом (KK') кривой; γ — угол при точке засечки; OY° — направление тангента кривой; C — центр кривой; n' — практическое положение точки n ; δL — общая погрешность планового положения выносной точки; δR — погрешность построения радиуса в точке n ; δk — погрешность равенства интервалов разбивки.

2. Перейти от погрешностей δx° и δy° к аналогичным погрешностям δx и δy в системе координат XOY , которая повернута относительно $X^\circ OY^\circ$ на угол $90^\circ - (\alpha + \beta)$ по ходу часовой стрелки.

3. Перейти от погрешностей δx и δy к погрешностям $\delta x'$ и $\delta y'$ в системе $X''OY'$, которая смешена по отношению к системе XOY на расстояние $+R$ вдоль оси Y .

4. Преобразовать погрешности $\delta x'$ и $\delta y'$ в погрешности $\delta x'' = \delta R$ и $\delta y'' \approx \delta k$ в системе координат $X''O''Y''$, которая повернута по отношению к системе $X''OY'$ на угол $90^\circ - 2\beta$ против хода часовой стрелки.

Получим указанным путем формулы для определения погрешностей δR и δk .

Как известно, прямоугольные координаты x° и y° точки n можно вычислить по таким формулам:

$$x^\circ = 2R \sin \alpha \sin \beta, \quad (1)$$

$$y^\circ = 2R \cos \alpha \sin \beta. \quad (2)$$

Продифференцировав их по переменным α и β , имеем

$$\delta x^\circ = 2R \cos \alpha \sin \beta \delta \alpha + 2R \sin \alpha \cos \beta \delta \beta, \quad (3)$$

$$\delta y^\circ = -2R \sin \alpha \sin \beta \delta \alpha + 2R \cos \alpha \cos \beta \delta \beta. \quad (4)$$

Поскольку система координат XOY по отношению к системе $X^\circ OY^\circ$ повернута на угол $90^\circ - (\alpha + \beta)$ по ходу часовой стрелки, то на основе известных формул преобразования плоских координат [4] можно записать, что

$$\delta x = \delta y^\circ \cos(\alpha + \beta) + \delta x^\circ \sin(\alpha + \beta), \quad (5)$$

$$\delta y = \delta y^\circ \sin(\alpha + \beta) - \delta x^\circ \cos(\alpha + \beta). \quad (6)$$

Если здесь учесть приведенные выше выражения для δx° и δy° и сделать простые преобразования, то (5) и (6) легко привести к такому виду:

$$\delta x = 2R \sin^2 \beta \delta \alpha + 2R \cos^2 \beta \delta \beta, \quad (7)$$

$$\delta y = R \sin 2\beta \delta \alpha - R \sin 2\beta \delta \beta. \quad (8)$$

Так как по отношению к системе координат XOY система $X''OY'$ свинута вдоль оси Y на величину $+R$, т. е. $x' = x$ и $y' = y - R$, то $\delta x' = \delta x$ и $\delta y' = \delta y$.

Наконец, система координат $X''O''Y''$ повернута по отношению к системе $X''OY'$ на угол $\sim 90^\circ - 2\beta$ против хода часовой стрелки, и в этой системе $\delta x'' = \delta R$, а $\delta y'' \approx \delta k$. Следовательно,

$$\delta R = -\delta y' \cos 2\beta + \delta x' \sin 2\beta, \quad (9)$$

$$\delta k = \delta y' \sin 2\beta + \delta x' \cos 2\beta, \quad (10)$$

или с учетом значений $\delta x'$ и $\delta y'$

$$\delta R = R \sin 2\beta \delta \alpha + R \sin 2\beta \delta \beta, \quad (11)$$

$$\delta k = 2R \cos^2 \beta \delta \alpha - 2R \sin^2 \beta \delta \beta. \quad (12)$$

В соответствии с этими зависимостями формулы для определения средних квадратических погрешностей построения радиуса кривой m_k и равенства интервалов разбивки m_k по заданным средним квадратическим погрешностям m_α и m_β построения углов засечки можно представить в таком виде:

$$m_k^2 = R^2 \sin^2 2\beta m_\alpha^2 + R^2 \sin^2 2\beta m_\beta^2, \quad (13)$$

$$m_k^2 = 4R^2 \cos^4 \beta m_\alpha^2 + 4R^2 \sin^4 \beta m_\beta^2. \quad (14)$$

При равноточном построении углов засечки, т. е. при $m_a = m_b$, вместо (13) и (14) имеем

$$m_k^2 = R^2 (\cos 4\beta + 3) m_r^2, \quad (15)$$

$$m_k^2 = 2R^2 \sin^2 2\beta m_r^2, \quad (16)$$

Полученная формула (15) вполне объясняет результаты [2] практического испытания способа угловой засечки при разбивке круговой кривой (в частности высокую точность способа). Согласно этой формуле при разбивке кривой радиуса $R = 100$ м через интервал 10 м угловой засечкой с двух точек с погрешностями построения углов засечки $m_a = m_b = \pm 30'' \sqrt{2}$ ожидаемая погрешность m_r выноса первой точки кривой должна быть $\pm 0,002$ м, второй — $\pm 0,003$ м, третьей — $\pm 0,004$ м, четвертой — $\pm 0,006$ м, пятой — $\pm 0,007$ м. При практическом испытании способа на эта-лонной кривой мы получили осредненное значение $m_r = \pm 0,01$ м [2], что удовлетворительно согласуется с предвычисленными значениями m_r , если учесть, что погрешность фиксирования выносимых точек на эталонной кривой составляла $\pm 0,005$ м.

Сказанное выше позволяет считать способ угловой засечки эффективным способом детальной разбивки круговых кривых рекомендовать его для применения при разбивке закруглений.

Список литературы: 1. Ганчин В. И., Хренов Л. С. Таблицы для разбивки круговых и переходных кривых. — Киев: Будгизник, 1974. 2. Гожий А. В. Курс геодезии А. А. Турица И. А. Результаты практического сравнения различных способов детальной разбивки круговой кривой. — Геодезия, картография и аэрофотосъемка, 1979, вып. 30. 3. Гожий А. В. Общий принцип определения точности детальной разбивки круговой кривой различными способами. — Геодезия, картография и аэрофотосъемка, 1982, вып. 36. 4. Привалов И. Н. Анализ геометрической геометрии. — М.: Физматлит, 1963. 5. Чертых В. И., Меламуд Я. Г. Разбивка круговых кривых способом засечек. — Транспортное строительство, 1958, № 5. Статья поступила в редакцию 5. 05.

УДК 528.489.625.78:621.396

А. Л. ДЕВЯТИКОВ, А. И. ДЕРБАЛ

О ПРИМЕНЕНИИ РАДИОУСТРОЙСТВ ПРИ СЪЕМКЕ ПОДЗЕМНЫХ КОММУНИКАЦИЙ

Для ускоренного развития топографо-геодезического производства, повышения эффективности и качества работы необходимо поэтапная автоматизация всех процессов топографических съемок в том числе съемок подземных коммуникаций (СПК) [2, 4].

В процессе полевых работ на первом этапе предусматривается традиционное ведение журналов, приспособленных для обработки ЭВМ, на втором — использование полевых перфораторов и считающих устройств и на третьем — полуавтоматическая ин-

автоматическая регистрация измеренных электронными тахеометрами данных. В процессе камеральных работ обрабатываются полевые измерения на ЭВМ, воспроизводятся картографические изображения в графической или цифровой форме на автоматических координаторах (АК) и вручную дорабатывается составительский оригинал [2].

Однако полевые перфораторы не получили широкого распространения вследствие недостаточной экономической эффективности практического испытания способа угловой засечки при разбивке круговой кривой (в частности высокую точность способа). Согласно этой формуле при разбивке кривой радиуса $R = 100$ м через интервал 10 м угловой засечкой с двух точек с погрешностями построения углов засечки $m_a = m_b = \pm 30'' \sqrt{2}$ ожидаемая погрешность m_r выноса первой точки кривой должна быть $\pm 0,002$ м, второй — $\pm 0,003$ м, третьей — $\pm 0,004$ м, четвертой — $\pm 0,006$ м, пятой — $\pm 0,007$ м. При практическом испытании способа на эта-лонной кривой мы получили осредненное значение $m_r = \pm 0,01$ м [2], что удовлетворительно согласуется с предвычисленными значениями m_r , если учесть, что погрешность фиксирования выносимых точек на эталонной кривой составляла $\pm 0,005$ м.

Сказанное выше позволяет считать способ угловой засечки эффективным способом детальной разбивки круговых кривых рекомендовать его для применения при разбивке закруглений.

Перспективным является использование портативных диктофонов (магнитофонов), радиостанций и телекамер. Некоторые результаты использования этих устройств в СССР и за рубежом на ряде топографо-геодезических, проектно-изыскательских и строительных работ описаны в [1, 2, 6, 8—12]. Что касается СПК, то для детального обследования колодцев и определения планового высотного положения их элементов диктофон собственной конструкции применил в середине 60-х годов А. Н. Тихонов [8].

О положительных результатах экспериментов с портативными магнитофонами и радиостанциями во Львовском филиале института Укржелдорпроект неоднократно сообщалось на заседаниях ЛьвовАГО, на совещании-семинаре «Научно-технический прогресс в области топографо-геодезических работ» (Львов, 1980 г.) и в [3].

Для записи результатов полевых измерений применяют перегородкованные портативные кассетные магнитофоны типа «Пегас» и «Спутник» с микрофонами типа ДМШ. Так как выключатели этих магнитофонов не могут выдержать работу в старт-стопном режиме (только на одном объекте производится 2—3 тысячи включений-выключений), поэтому лентопротяжный механизм включен постоянно, а включение-выключение питания производится кнопкой, выведенной с помощью отдельного провода на руку исполнителя. Запись производится на минимальной скорости 2,38 см/с в определенном дикторском темпе и, для некоторых видов работ в строго установленной последовательности, что связано с последующей обработкой результатов измерений на ЭВМ. Например, порядок операций при тахеометрической съемке следую-